

# 偏心压缩可靠性计算的教学探索

李有兴 肖芳淳  
(西南石油学院, 南充 637001)

为了扩大学生视野, 培养学生理论联系实际的能力, 开发学生的智力, 对材料力学的教学, 除了进行正常的课堂教学外, 我们还采用了第二课堂教学的办法。在方式上, 运用自学、讨论、创新, 让学生发挥主体作用, 教师定期指导, 收到了预期效果, 提高了教学质量。现以偏心压缩可靠性计算<sup>[1]</sup>为例, 加以说明。

我们选用厂房中支承吊车梁的立柱作为偏心压缩可靠性计算的实例, 激发了学生的学习兴趣, 让第二课堂教学得到顺利开展, 培养了学生理论联系实际的能力。作法是: 首先让学生自学有关工程结构可靠性分析设计的内容, 在理解所学知识的基础上, 进行讨论, 以奠定可靠性计算的理论基础。

学生通过讨论明确偏心压缩立柱的强度计算问题, 只要立柱的抗弯刚度较大, 就可按压缩和弯曲的组合变形来计算, 否则就属压弯杆件的稳定问题, 在此不加讨论。

随后提出图示截面  $b \times h$  的立柱, 下端固定, 上端在  $C$  处受偏心距为  $e_1$  的集中力  $P_1$  的作用, 在  $B$  处受偏心距为  $e_2$  的集中力  $P_2$  的作用, 且  $P_2 e_2 > P_1 e_1$ , 而  $P_1$ 、 $P_2$  为彼此独立的随机变量, 其作用线均位于立柱的纵向对称面内。已知  $P_1$ 、 $P_2$  的均值和标准差分别为  $\mu_{P_1}$ 、 $\sigma_{P_1}$ ;  $\mu_{P_2}$ 、 $\sigma_{P_2}$ , 试对立柱  $AB$  段作可靠性计算。

在学生的创新基础上加以综合, 兹介绍如下:

让学生明确传统的设计原则是构件的强度不小于载荷效应, 其安全度是用安全系数表示。例如用平均值表达的单一平均安全系数  $n$  可定义为

$$n = \frac{\text{强度平均值}}{\text{荷载效应平均值}} = \frac{\mu_G}{\mu_S} \quad (1)$$

其相应的设计表达式为

$$\mu_G \geq n \cdot \mu_S \quad (2)$$

从统计数学观点看, 安全系数  $n$  有两个问题:

(1) 它没有定量考虑强度和荷载效应的随机性, 往往靠经验或工程判断的方法取值, 因此免不了带有人为因素, 甚至主观臆断的成份。

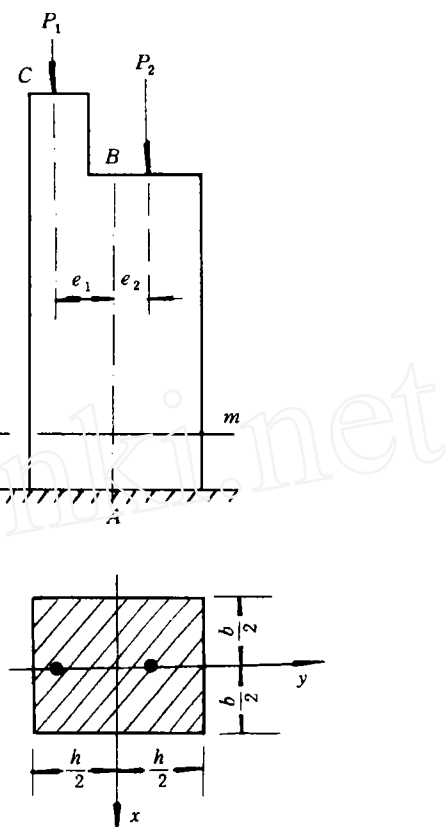


图 1

(2)  $n = \mu_G / \mu_S$  只与  $G$  和  $S$  的相对位置有关, 而与它们的离散程度 ( $\sigma_G$ 、 $\sigma_S$ ) 无关, 这与客观实际不符。为了解决这两个问题, 我们便从以下几步着手进行指导学生。

## 第 1 步 确定最大应力力

在图 1 中, 首先将  $P_1$ 、 $P_2$  看作确定的量, 则任一截面  $m-m$  上由于  $P_1$  引起的应力<sup>[2]</sup> 为

$$S_{P_1} = -\frac{P_1}{b \times h} \pm \frac{12P_1e_1}{bh^3}y \quad (3)$$

截面  $m-m$  上由于  $P_2$  引起的应力为

$$S_{P_2} = -\frac{P_2}{bh} \pm \frac{12P_2e_2}{bh^3}y \quad (4)$$

在小变形情况下，应力可以叠加，于是有

$$S = S_{P_1} + S_{P_2} = -\frac{P_1 + P_2}{bh} \pm \frac{12(P_2 e_2 - P_1 e_1)}{bh^3} y \quad (5)$$

在前式中，由于  $P_2 e_2 > P_1 e_1$ ，因为要进行立柱的强度计算，所求的是危险截面上危险点的最大压应力，在(5)式中右边第二项应取“-”号，于是得

$$S_{\max}^- = \frac{1}{bh} \left(1 - \frac{6e_1}{h}\right) P_1 + \frac{1}{bh} \left(1 + \frac{6e_2}{h}\right) P_2 \quad (6)$$

## 第2步 计算最大压应力的均值与标准差

为了简化计算，这里只考虑  $P_1$ 、 $P_2$  为随机变量，其余均视为常量，故  $S_{\max}^-$  是两个随机变量  $P_1$ 、 $P_2$  的函数，其均值和标准差<sup>[3-5]</sup>为均值

$$\mu_{S_{\max}^-} = \left(\frac{1}{bh} - \frac{6e_1}{bh^2}\right) \mu_{P_1} + \left(\frac{1}{bh} + \frac{6e_2}{bh^2}\right) \mu_{P_2} \quad (7)$$

标准差

$$\sigma_{S_{\max}^-}^2 = \left(\frac{1}{bh} - \frac{6e_1}{bh^2}\right)^2 \sigma_{P_1}^2 + \left(\frac{1}{bh} + \frac{6e_2}{bh^2}\right)^2 \cdot \sigma_{P_2}^2 \quad (8)$$

## 第3步 偏心压缩的可靠性分析

假定屈服极限  $G$  服从正态分布，其均值和标准差为  $\mu_G$ 、 $\sigma_G$ ，则状态函数<sup>[3-5]</sup>

$$Z = G - S_{\max}^- \quad (9)$$

也服从正态分布，其均值和标准差分别为

$$\begin{aligned} \mu_Z &= \mu_G - \mu_{S_{\max}^-} \\ \sigma_Z^2 &= \sigma_G^2 + \sigma_{S_{\max}^-}^2 \end{aligned} \quad (10)$$

由文[3-5]得知，立柱的可靠度  $R$  为

$$R = \int_{\mu_Z/\sigma_Z}^{\infty} \frac{1}{\sqrt{2\pi}\sigma_Z} \exp\left[-\frac{(Z - \mu_Z)^2}{2\sigma_Z^2}\right] dZ$$

引入“标准化变量”， $t = (Z - \mu_Z)/\sigma_Z$ ,  $dZ = \sigma_Z \cdot dt$ ，于是前式变为

$$\begin{aligned} R &= \int_{\mu_Z/\sigma_Z}^{\infty} \frac{1}{\sqrt{2\pi}} \exp\left(-\frac{t^2}{2}\right) dt \\ &= \Phi(-\mu_Z/\sigma_Z) = \Phi(-\beta) \end{aligned} \quad (11)$$

式中， $\Phi(\cdot)$  为标准化正态分布函数。

$\beta$  称为可靠性指标，若考虑(7)、(8)、(10)三式，则其表达式为

$$\begin{aligned} \beta &= -\frac{\mu_Z}{\sigma_Z} \\ &= -\frac{\mu_G - \left(\frac{1}{bh} - \frac{6e_1}{bh^2}\right) \mu_{P_1} - \left(\frac{1}{bh} + \frac{6e_2}{bh^2}\right) \mu_{P_2}}{\sqrt{\sigma_G^2 + \left(\frac{1}{bh} - \frac{6e_1}{bh^2}\right)^2 \sigma_{P_1}^2 + \left(\frac{1}{bh} + \frac{6e_2}{bh^2}\right)^2 \sigma_{P_2}^2}} \end{aligned} \quad (12)$$

力学与实践

## 第4步 偏心压缩的强度计算

由(12)式，并考虑(10)式，整理得

$$\frac{\mu_G}{\mu_{S_{\max}^-}} = \frac{1}{1 + \beta \frac{\sigma_G}{\mu_G} \sqrt{1 + \left(\frac{\sigma_{S_{\max}^-}}{\sigma_G}\right)^2}} \quad (13)$$

若令  $\eta = \beta \cdot \sigma_G / \mu_G = C_G \cdot \beta$ ,  $a = (\sigma_{S_{\max}^-} / \mu_{S_{\max}^-}) / (\sigma_G / \mu_G) = C_{S_{\max}^-} / C_G$ ，则

$$\frac{\mu_G}{\mu_{S_{\max}^-}} = \frac{1 + \eta \sqrt{1 + a^2(1 - \eta^2)}}{1 - \eta^2} \quad (14)$$

若考虑  $a_{P_1} = C_{P_1} / C_G$ ,  $a_{P_2} = C_{P_2} / C_G$ ，则有

$$\begin{aligned} \frac{\mu_G}{\mu_{S_{\max}^-}} &= 1 + \eta \left\{ 1 + (1 - \eta^2) \left[ \left( \frac{1}{bh} - \frac{6e_1}{bh^2} \right)^2 a_{P_1}^2 \right. \right. \\ &\quad \left. \left. + \left( \frac{1}{bh} + \frac{6e_2}{bh^2} \right)^2 a_{P_2}^2 \right] \right\}^{1/2} / (1 - \eta^2) \end{aligned} \quad (15)$$

其相应的强度计算式为

$$\mu_G \geq F_G \cdot \mu_{S_{\max}^-} \quad (16)$$

这里  $F_G$  称为偏心压缩时的强度因子，即

$$\begin{aligned} F_G &= 1 + \eta \left\{ 1 + (1 - \eta^2) \left[ \left( \frac{1}{bh} - \frac{6e_1}{bh^2} \right)^2 a_{P_1}^2 \right. \right. \\ &\quad \left. \left. + \left( \frac{1}{bh} + \frac{6e_2}{bh^2} \right)^2 a_{P_2}^2 \right] \right\}^{1/2} / (1 - \eta^2) \end{aligned} \quad (17)$$

从(16)式看出，既可作立柱的强度校核，又可作立柱的可靠性设计，有其独特的优越性。

通过这样的教学，我们体会到，若选题得当，学生受益不浅，不仅巩固所学材力的基本内容，还能加深理解，扩大眼界，而且提高了分析和解决实际问题的能力，但还需进一步探索。

## 参 考 文 献

- 1 赵国藩等. 工程结构可靠度. 水利电力出版社, 1984
- 2 孙训方等. 材料力学. 人民教育出版社, 1979
- 3 肖芳淳. 价值可靠性计算的理论研究. 强度与环境, 1992(1)
- 4 肖芳淳. 模糊价值可靠性设计及其应用. 第二届全国模糊分析设计学术会议论文集.
- 5 李有兴. 杆件纵横弯曲时对确定热屈曲临界长度的研究. 西南石油学院学报, 1993(1)

(本文于 1993 年 2 月 19 日收到)